

© 1992

## БИЭКСИТОННЫЙ ОПТИЧЕСКИЙ ШТАРК-ЭФФЕКТ, ОБУСЛОВЛЕННЫЙ ДИНАМИЧЕСКИМ СМЕШИВАНИЕМ УРОВНЕЙ ЭКСИТОНОВ И БИЭКСИТОНОВ

*А. И. Бобрышева, М. И. Шмиглюк, С. С. Руссу,  
Нгуен Тхи Куэ Хыонг*

Теоретически изучен биэкситонный оптический Штарк-эффект, обусловленный динамическим смешиванием уровней экситона и биэкситона в поле сильной электромагнитной волны. Получены вероятности двухфотонного поглощения слабого света биэкситоном и однофотонного биэкситон-экситонного перехода. Штарковские расщепления проявляются в спектре двухфотонного поглощения в виде двух пиков, расстояние между которыми  $2\Omega$  ( $\Omega$  — частота Раби). В спектре люминесценции появляются три максимума, сдвинутые относительно максимума люминесценции в отсутствие накачки. Численные расчеты выполнены для  $ZnSe/(Zn, Mn)Se$  квантовой ямы.

В последнее время в объемных полупроводниках и многослойных квазидвумерных структурах с квантовыми ямами обнаружено новое явление, ранее известное только в атомной физике, — оптический Штарк-эффект (ОШЭ). ОШЭ заключается в ренормализации электронных состояний под действием сильного электромагнитного поля, смещении и расщеплении вследствие этого энергетического уровня и изменении поглощения. Впервые ОШЭ в экситонной области спектра был исследован теоретически применительно к  $1s-2p$  экситонному переходу в  $Cu_2O$  [1]. Соответствующий экситонный резонансный ОШЭ в  $Cu_2O$  был обнаружен экспериментально Фрелихом с соавторами [2]. В последующих экспериментах было показано, что при возбуждении мощными импульсами света квантовых ям (КЯ) [3, 4] и объемных полупроводников ( $CdS$ ,  $CdSe$  [5–7]) и даже в области прозрачности также происходит практически безынерционное смещение экситонных пиков и изменение поглощения. Аналогичный экситонный ОШЭ наблюдался при накачке КЯ  $GaAs/Al_xGa_{1-x}As$  импульсами мощного  $Co_2$ -лазера, частота которого близка к расстоянию между уровнями размерного квантования  $n=1$  и  $n=2$  электрона [8].

Теория нерезонансного ОШЭ была впервые предложена Шмитт-Ринком и Чемлой [9]. В приближении Хартри—Фока ими получена энергия электронов и дырок, ренормализованная сильным светом, и рассчитана нелинейная восприимчивость  $\chi^{(3)}$ . Оказалось, что при больших расстройках смещение экситонного уровня имеет такой же вид, как и в случае двухуровневого атома. М. Комбеско и Р. Комбеско [10] показали, что смещение экситонного уровня в длинноволновую сторону обусловлено динамическим связыванием экситона со всеми биэкситонными и двухэкситонными состояниями. Этот результат получен в рамках теории возмущений при условии больших расстройок и относительно малой интенсивности возбуждающего света. В кристаллах со стабильными биэкситонными состояниями при малых расстройках резонанса смещение экситонного уровня происходит в длинноволновую сторону спектра и пропорционально матричному элементу экситон-биэкситонного перехода.

Для изучения экситонного ОШЭ были использованы и более сложные схемы с применением метода неравновесных функций Грина, однако для получения

конкретных результатов приходилось вводить существенные упрощения и фактически опять возвращаться к приближению Хартри—Фока [11, 12]. Поляризационное расщепление экситонных состояний под действием интенсивного импульса накачки впервые рассмотрено в [13]. Как известно, в целом ряде объемных полупроводников [14] и некоторых КЯ [15] обнаружены биэкситоны с большой энергией диссоциации. Например, в объемных полупроводниках CuCl и CuBr энергия диссоциации биэкситона соответственно равна 28 и 18 мэВ, а в КЯ ZnSe/Zn<sub>1-x</sub>Mn<sub>x</sub>Se — 33 и 11 мэВ при толщине  $d$  слоя ZnSe, равной 24 и 67 Å. При таких энергиях диссоциации биэкситонов, по-видимому, нет достаточных оснований применять теорию возмущений по большим расстройкам и полагать равными энергии всех квантовых переходов, как это делается в [10, 13]. В [16] разработана процедура, не использующая теорию возмущений, для расчета поляризации среды, индуцированной экситонами и биэкситонами, в поле сильной электромагнитной волны. Теория разработана для экспериментов, использующих один источник света (пропускание, отражение).

Целью нашей работы является расчет двухфотонного поглощения слабого света и однофотонного излучения биэкситоном в поле сильной электромагнитной волны, частота которой резонансна с частотой экситон-биэкситонного перехода. В разделе 1 методом линеаризации уравнений движения получены спектры квазиэнергий при динамическом смешивании уровней экситона и биэкситона. В разделах 2, 3 рассчитаны вероятности двухфотонного поглощения слабого света и однофотонного излучения биэкситоном.

## 1. Спектры квазиэнергий при динамическом смешивании уровней экситона и биэкситона

Рассмотрим полупроводник в поле сильной электромагнитной волны, частота  $\omega$ , которой близка к частоте экситон-биэкситонного перехода. Расстройка резонанса  $\epsilon \ll \omega$ . Предположим, что расстройка резонанса намного больше, чем расщепление биэкситонных состояний и чем обменное расщепление экситона. В этом случае задача сводится к взаимодействию одного вырожденного экситонного состояния и одного вырожденного биэкситонного состояния с электромагнитным излучением. До тех пор пока нас не интересует поляризационное расщепление уровней под действием света [13], можно для простоты не учитывать их вырождение. Предположим также, что операторы экситона  $a_{\mathbf{k}}^{\pm}$  и биэкситона  $b_{\mathbf{k}+\mathbf{q}}^{\pm}$  являются независимыми и они коммутируют. Кроме того, нами не учитываются экситон-экситонное, экситон-биэкситонное, биэкситон-биэкситонное взаимодействия. Их учет привел бы к дополнительным смещениям уровней энергий квазичастиц. Используется классическое описание электромагнитного поля и считается, что взаимодействие квазичастиц с ним включается адиабатически. Соответствующий полный гамильтониан задачи в приближении вращающейся волны имеет вид

$$H = H_0 + H_1 + H_2, \quad (1)$$

$$H_0 = \sum_{\mathbf{k}} \left[ \mathcal{E}_{cx}(\mathbf{k}) a_{\mathbf{k}}^{\dagger} a_{\mathbf{k}} + E_m(\mathbf{k} + \mathbf{q}) b_{\mathbf{k}+\mathbf{q}}^{\dagger} b_{\mathbf{k}+\mathbf{q}} \right], \quad (2)$$

$$H_1 = \sum_{\mathbf{k}} \left[ V_{12} a_{\mathbf{k}} b_{\mathbf{k}+\mathbf{q}}^{\dagger} e^{-i\omega t} + \text{з.с.} \right], \quad (3)$$

$$H_2 = \sum_{\mathbf{k}} \left[ W_{ex}^j \exp(-i\omega_j t) a_{\mathbf{k}}^{\dagger} + \text{э. с.} \right] + \sum_{\mathbf{k}, \mathbf{p}} \left[ Z_{12}^j \exp(-i\omega_j t) b_{\mathbf{k}+\mathbf{q}}^{\dagger} a_{\mathbf{k}} + \text{э. с.} \right], \quad (4)$$

где  $\omega_j \equiv \omega(\mathbf{q}_j)$  — частота произвольной моды  $j$  зондирующего поля,  $a_{\mathbf{k}}^{\dagger}$  ( $a_{\mathbf{k}}$ ) и  $b_{\mathbf{k}+\mathbf{q}}^{\dagger}$  ( $b_{\mathbf{k}+\mathbf{q}}$ ) — операторы рождения (уничтожения) экситона и биэкситона с энергиями  $\mathcal{E}_{ex}(\mathbf{k})$  и  $E_m(\mathbf{k}+\mathbf{q})$ ,  $H_1$  описывает взаимодействие электронных состояний с выделенной модой  $\mathbf{q}$  мощного импульса накачки,  $H_2$  описывает взаимодействие со слабым пробным импульсом,  $V_{12}$  ( $Z_{12}^j$ ) и  $W_{ex}^j$  — матричные элементы оператора  $(A\nabla)$  соответственно для квантовых переходов экситон-биэкситонного под действием сильного (слабого) поля и основное состояние кристалла — экситонное состояние. В случае трехмерного кристалла

$$W_{ex}^j = \langle 0 | A\rho | \mathbf{k}, \Gamma_{ex}, \xi_{ex} \rangle = A_{ex} \frac{e}{m_0} \left( \frac{2\pi\hbar}{\omega_{\mathbf{q}} \varepsilon_{\infty}} \right)^{1/2} \sqrt{n_{\mathbf{q}_j}} \rho_{cv}(0) \varphi_{nlm}(0) (\mathbf{e}_{\mathbf{q}_j} \xi_{ex}) \delta_{\mathbf{k}, \mathbf{q}_j}, \quad (5)$$

$$\begin{aligned} Z_{12}^j &= \langle \mathbf{k}, \Gamma_{ex}, \xi_{ex} | A\rho | \mathbf{k}_m, \Gamma_m, \xi_m \rangle = \\ &= A_{12} \frac{e}{m_0} \left( \frac{2\pi\hbar}{\omega_{\mathbf{q}} \varepsilon_{\infty}} \right)^{1/2} \sqrt{n_{\mathbf{q}_j}} \rho_{cv}(0) \varphi_{nlm}(0) \Phi_{\mathbf{q}_j, \mathbf{k}}^{\mathbf{k}_m}(\mathbf{e}_{\mathbf{q}_j} \xi_m), \end{aligned} \quad (6)$$

где  $\mathbf{k}$  ( $\mathbf{k}_m$ ) — волновой вектор экситона (биэкситона);  $\Gamma_{ex}$  ( $\Gamma_m$ ) — неприводимое представление, по которому преобразуется волновая функция экситона (биэкситона);  $\xi_{ex}$  ( $\xi_m$ ) — строка  $\Gamma_{ex}$  ( $\Gamma_m$ );  $n_{\mathbf{q}_j}$  и  $\mathbf{e}_{\mathbf{q}_j}$  — число и вектор поляризации фотонов с частотой  $\omega_j$  и волновым вектором  $\mathbf{q}_j$ ;  $\varphi_{nlm}(\mathbf{r})$  — волновая функция экситона;  $\rho_{cv}(\mathbf{k}) = \langle U_{v\mathbf{k}} | i\hbar\nabla | U_{c\mathbf{k}} \rangle$  — матричный элемент зонно-зонного перехода, построенный на волновых функциях Блоха;  $\Phi_{\mathbf{q}_j, \mathbf{k}}^{\mathbf{k}_m}$  — Фурье-образ функции относительного движения биэкситона;  $A_{ex}$ ,  $A_{12}$  — коэффициенты, обусловленные структурой зон.

Совершим унитарное преобразование  $U(t)$ , исключаящее зависимость от времени гамильтониана

$$U(t) = \exp \left\{ -i\omega_j t \sum_{\mathbf{k}} \left[ C_1 a_{\mathbf{k}}^{\dagger} a_{\mathbf{k}} + C_2 b_{\mathbf{k}+\mathbf{q}}^{\dagger} b_{\mathbf{k}+\mathbf{q}} \right] \right\}, \quad (7)$$

где  $C_2 - C_1 = 1$ . Преобразованный гамильтониан имеет вид

$$\tilde{H} = \tilde{H}_0 + \tilde{H}_{вз}, \quad (8)$$

$$\begin{aligned} \tilde{H}_0 &= \sum_{\mathbf{k}} \left\{ \left[ \mathcal{E}_{ex}(\mathbf{k}) - C_1 \hbar\omega_j \right] a_{\mathbf{k}}^{\dagger} a_{\mathbf{k}} + \left[ E_m(\mathbf{k}+\mathbf{q}) - (1+C_1) \hbar\omega_j \right] \times \right. \\ &\quad \left. \times b_{\mathbf{k}+\mathbf{q}}^{\dagger} b_{\mathbf{k}+\mathbf{q}} \right\} + \sum_{\mathbf{k}} \left[ V_{12} b_{\mathbf{k}+\mathbf{q}}^{\dagger} a_{\mathbf{k}} + \text{э. с.} \right], \end{aligned} \quad (9)$$

$$\begin{aligned} \tilde{H}_{вз} &= \sum_{\mathbf{k}} \left[ W_{ex}^j \exp \left\{ -i(\omega_j - C_1 \omega_j) t \right\} a_{\mathbf{k}}^{\dagger} + \text{э. с.} \right] + \\ &+ \sum_{\mathbf{k}, \mathbf{p}} \left[ Z_{12}^j \exp \left\{ -i \left\{ -i \left[ \omega_j - (C_2 - C_1) \omega_j \right] t \right\} \right\} b_{\mathbf{k}+\mathbf{p}}^{\dagger} a_{\mathbf{p}} \delta_{\mathbf{p}, \mathbf{q}_j} + \text{э. с.} \right]. \end{aligned} \quad (10)$$

Для диагонализации гамильтониана  $\tilde{H}_0$  введем новые операторы  $\alpha_{\nu}$  ( $\nu = 1, 2$ )

$$\alpha_{\nu} = d_{1\nu} a_{\mathbf{k}} + d_{2\nu} b_{\mathbf{k}+\mathbf{q}} \quad (11)$$

и потребуем, чтобы

$$[\alpha_{\nu}, \tilde{H}_0] = \mathcal{E}_{\nu} \alpha_{\nu}. \quad (12)$$

Из (12) следуют уравнения

$$\begin{aligned} d_{1\nu} [\mathcal{E}_{ex}(\mathbf{k}) - C_1 \hbar \omega_l] + d_{2\nu} V_{12} &= \mathcal{E}_{\nu} d_{1\nu}, \\ d_{2\nu} [E_m(\mathbf{k} + \mathbf{q}) - (1 + C_1) \hbar \omega_l] + d_{1\nu} V_{12} &= \mathcal{E}_{\nu} d_{2\nu}. \end{aligned} \quad (13)$$

При условии  $C_1 = 0$ ,  $C_2 = 1$  получим следующее выражение для уровней квазичастиц:

$$\mathcal{E}_{\nu} = \mathcal{E}_{ex}(\mathbf{k}) + \Delta/2 + \Omega, \quad (14)$$

где  $\nu = 1$  для знака «+» и  $\nu = 2$  для знака «-»,

$$\begin{aligned} \Delta &= E_m(\mathbf{k} + \mathbf{q}) - \mathcal{E}_{ex}(\mathbf{k}) - \hbar \omega_l, \\ \Omega &= \frac{1}{2} [\Delta^2 + 4 |V_{12}|^2]^{1/2}. \end{aligned} \quad (15)$$

Потребуем, чтобы операторы  $\alpha_{\nu}$ ,  $\alpha_{\nu}^{\dagger}$  удовлетворяли бозевским коммутационным соотношениям. Тогда при условии, что операторы  $a_{\mathbf{k}}$ ,  $b_{\mathbf{k}}^{\dagger}$  коммутируют, получим следующие соотношения для коэффициентов  $d_{\nu}$  ( $i = 1, 2$ ):

$$\begin{aligned} |d_{1\nu}|^2 + |d_{2\nu}|^2 &= 1, \\ d_{1\nu} d_{1\nu'}^{\dagger} + d_{2\nu} d_{2\nu'}^{\dagger} &= 0, \quad \nu \neq \nu'. \end{aligned} \quad (16)$$

Используя уравнение (13) и соотношения (16), получим следующие выражения для  $d_{\nu}$ :

$$\begin{aligned} d_{1\nu} &= -V_{12} [\delta_{\nu}^2 + |V_{12}|^2]^{-1/2}, \\ d_{2\nu} &= \delta_{\nu} [\delta_{\nu}^2 + |V_{12}|^2]^{-1/2}, \end{aligned} \quad (17)$$

где

$$\delta_{1,2} = -\Delta/2 \mp \Omega, \quad \delta_1 \delta_2 = -|V_{12}|^2.$$

Выразим  $\tilde{H}_{\text{вз}}$  через новые операторы  $\alpha_{\nu}$ . Для этого воспользуемся обратным преобразованием

$$\begin{aligned} a_{\mathbf{k}} &= d_{11}^{\dagger} \alpha_{\mathbf{k}1} + d_{12}^{\dagger} \alpha_{\mathbf{k}2}, \\ b_{\mathbf{k}+\mathbf{q}} &= d_{21}^{\dagger} \alpha_{\mathbf{k}+\mathbf{q},1} + \alpha_{\mathbf{k}+\mathbf{q},2}. \end{aligned} \quad (18)$$

В новых операторах

$$\begin{aligned} \tilde{H}_{\text{вз}} &= \tilde{H}_{ex}^{j'} + H_{ex-m}^{j'}, \\ H_{ex}^{j'} &= \sum_{\mathbf{k}} [W_{ex}^{j'} \exp(-i\omega_j t) (d_{11} \alpha_{\mathbf{k}1}^{\dagger} + d_{12} \alpha_{\mathbf{k}2}^{\dagger}) + \text{э. с.}], \\ H_{ex-m}^{j'} &= \sum_{\mathbf{k}} [Z_{12}^{j'} \exp\{-i(\omega_j - \omega_l) t\} \{d_{21} d_{11}^{\dagger} \alpha_{\mathbf{k}1}^{\dagger} \alpha_{\mathbf{k}1} + \\ &+ d_{21} d_{12}^{\dagger} \alpha_{\mathbf{k}1}^{\dagger} \alpha_{\mathbf{k}2} + d_{22} d_{11}^{\dagger} \alpha_{\mathbf{k}2}^{\dagger} \alpha_{\mathbf{k}1} + d_{22} d_{12}^{\dagger} \alpha_{\mathbf{k}2}^{\dagger} \alpha_{\mathbf{k}2}\} + \text{э. с.}], \end{aligned} \quad (19)$$

где  $j, j'$  нумеруют моду.

Аналогичным образом можно получить уровни квазиэнергии в биэкситонной области спектра

$$E_{\nu} = E_m(\mathbf{k} + \mathbf{q}) - \Delta/2 \pm \Omega, \quad \nu = 1, 2. \quad (20)$$

Для этого в (7) следует положить  $C_1 = -1$ ,  $C_2 = 0$ , а вместо (11) вводить новые операторы

$$\beta = \mathcal{D}_{1\nu} a_k + \mathcal{D}_{2\nu} b_{k+q}, \quad (21)$$

где

$$\mathcal{D}_{11} = -d_{22}, \mathcal{D}_{12} = -d_{21}, \mathcal{D}_{22} = d_{11}^*, \mathcal{D}_{21} = d_{12}^*.$$

## 2. Вероятность двухфотонного биэкситонного поглощения в поле сильной электромагнитной волны

Вероятность двухфотонного поглощения слабого света биэкситоном получим во втором порядке теории возмущений по взаимодействию (19). Начальное состояние  $|i\rangle$  включает в себя основное состояние кристалла  $|0\rangle$  (экситонный и биэкситонный вакуум) и зондирующее поле с частотами  $\omega_j$ . В простейшем случае  $i = 1$ , т. е. поле монохроматично. Мы допускаем, что  $i = 1, 2$ , т. е. зондирующее поле является двухмодовым. Промежуточные и конечные состояния электронной подсистемы описываются квазиэнергиями  $\mathcal{E}_1$  и  $\mathcal{E}_2$  и волновыми функциями  $|U_1\rangle$  и  $|U_2\rangle$  (для краткости опущен индекс  $k$ )

$$\begin{aligned} |U_1\rangle &= \alpha_1^+ |0\rangle \exp\left(-i \frac{\mathcal{E}_1}{\hbar} t\right), \\ |U_2\rangle &= \alpha_2^+ |0\rangle \exp\left(-i \frac{\mathcal{E}_2}{\hbar} t\right). \end{aligned} \quad (22)$$

Амплитуда двухфотонного перехода в биэкситонное состояние в присутствии сильного поля  $\omega_j$  определяется выражением

$$\begin{aligned} A_{\nu j j'} &= \sum_{\mathbf{k}, \xi, \nu} [(\mathcal{E}_\nu - \hbar\omega_j)^{-1} \langle i | \tilde{H}'_{\text{BS}} | U_\nu \rangle \langle U_\nu | \tilde{H}'_{\text{BS}} | U_{\nu'} \rangle + \\ &+ (\mathcal{E}_\nu - \hbar\omega_{j'})^{-1} \langle i | \tilde{H}'_{\text{BS}} | U_\nu \rangle \langle U_\nu | \tilde{H}'_{\text{BS}} | U_{\nu'} \rangle], \quad j \neq j', \end{aligned} \quad (23)$$

где  $\mathbf{k}$  — волновой вектор экситона;  $\nu, \nu' = 1, 2$ ;  $\xi$  — строка неприводимого представления. Используя (19), (22) и коммутационные соотношения для операторов  $\alpha_\nu$ , получим

$$\begin{aligned} A_{\nu j j'} &= \sum_{\mathbf{k}, \xi} \exp[i(\hbar^{-1} E_\nu - \omega_j - \omega_{j'}) t] |d_{2\nu} \times \\ &\times \left\{ W'_{\text{ex}} Z'_{12} \left[ \frac{|d_{11}|^2}{\mathcal{E}_1 - \hbar\omega_j} + \frac{|d_{12}|^2}{\mathcal{E}_2 - \hbar\omega_j} \right] + \right. \\ &\left. + W'_{\text{ex}} Z'_{12} \left[ \frac{|d_{11}|^2}{\mathcal{E}_1 - \hbar\omega_{j'}} + \frac{|d_{12}|^2}{\mathcal{E}_2 - \hbar\omega_{j'}} \right] \right\}. \end{aligned} \quad (24)$$

Вероятность перехода  $W$  имеет вид

$$\begin{aligned} W &= \frac{2\pi}{\hbar} \left\{ \tilde{W}'_{\text{ex}} \tilde{Z}'_{12} \left[ \frac{|d_{11}|^2}{\mathcal{E}_1 - \hbar\omega_j} + \frac{|d_{12}|^2}{\mathcal{E}_2 - \hbar\omega_j} \right] + \right. \\ &+ \tilde{W}'_{\text{ex}} \tilde{Z}'_{12} \left[ \frac{|d_{11}|^2}{\mathcal{E}_1 - \hbar\omega_{j'}} + \frac{|d_{12}|^2}{\mathcal{E}_2 - \hbar\omega_{j'}} \right] \left. \right\}^2 \times \\ &\times \{ |d_{21}|^2 \delta(E_1 - \hbar\omega_j - \hbar\omega_{j'}) + |d_{22}|^2 \delta(E_2 - \hbar\omega_j - \hbar\omega_{j'}) \} f(\mathbf{e}_1, \mathbf{e}_2), \end{aligned} \quad (25)$$

где  $\tilde{W}_{ex}$ ,  $\tilde{Z}_{12}$  — матричные элементы  $W_{ex}$ ,  $Z_{12}$  после суммирования по волновым векторам  $\mathbf{k}$ ,  $\mathbf{k}_m$  и строкам неприводимых представлений промежуточного и конечного состояний;  $f(\mathbf{e}_1, \mathbf{e}_2)$  — функция векторов поляризации фотонов, вид которой зависит от неприводимого представления, по которому преобразуется волновая функция биэкситона.

Как следует из (25), в спектре поглощения биэкситона имеются два максимума, отстоящие на  $2\Omega$ .

В качестве примера рассмотрим двухфотонное рождение биэкситона в ZnSe/(Zn, MnSe) КЯ. Структура зон состоит из  $\Gamma_{6c}$  зоны проводимости и двух валентных зон — верхней  $\Gamma_{6v}$ , образованной легкими дырками ( $LH$ ), и  $\Gamma_{7v}$ , образованной тяжелыми дырками ( $HH$ ). Волновые функции двух типов дипольно-активных экситонов симметрии  $E$  (двупериодической группы  $42m$ ), образованных соответственно из электрона и  $LH$  и электрона и  $HH$ , приведены в [17]. В работе [17] приведены также и волновые функции шести биэкситонных состояний, которые отличаются полным моментом двух электронов и двух дырок и его проекцией. Здесь мы рассмотрим только экситон  $E$  и биэкситон  $A_1$ , содержащие  $LH$ . Пробный импульс, как и импульс накачки, поляризован в плоскости  $x, y$ . Матричные элементы  $W_{ex}$  и  $Z_{12}$  по-прежнему описываются формулами (5) и (6), однако в этом случае  $\sqrt{V}\varphi_{n/m}(0)$  заменяется на  $\sqrt{S}\varphi_{nm}(0)$ , а

$$\begin{aligned} \varphi_{nm}(0) &= \sqrt{\frac{2}{\pi}} \frac{1}{a_{ex}} e^{-\rho/a_{ex}}, \quad \rho = \sqrt{x^2 + y^2}, \\ \Phi_{\mathbf{q}_2, \mathbf{k}}^{k_m} &= \frac{2^{3/2} \pi^{1/2} a_m}{\sqrt{S} \left[ 1 + \frac{1}{4} a_m^2 |\mathbf{k} - \mathbf{q}_2|^2 \right]^{3/2}}, \quad \mathbf{q}_2 = (q_x^2 + q_y^2)^{1/2}, \\ A_{ex} &= \frac{1}{\sqrt{3}}, \quad A_{12} = \frac{1}{2\sqrt{3}}, \\ f(\mathbf{e}_1, \mathbf{e}_2) &= (\mathbf{e}_1, \mathbf{e}_2)^2, \end{aligned}$$

$n, m$  — главное и магнитное квантовые числа;  $a_{ex}$  и  $a_m$  — радиус экситона и биэкситона;  $k, k_m$  — двумерные волновые векторы;  $S = V/d$ ;  $V$  — объем кристалла;  $d$  — толщина КЯ.

После замены  $\delta$ -функции на лорентциан из (25) получим

$$\begin{aligned} W &= \frac{32\pi \hbar e^4}{9\epsilon_\omega^2 \omega_1 \omega_2 d^2} \left( \frac{p_{cv}}{m_0} \right) \frac{a_m^2}{a_{ex}^4} n_{q_2} \frac{n_{q_1}}{S} (\mathbf{e}_1 \mathbf{e}_2)^2 \times \\ &\times \sum_{i=1,2} \{ |d_{11}|^2 (\mathcal{E}_1 - \hbar\omega_i)^{-1} + |d_{12}|^2 (\mathcal{E}_2 - \hbar\omega_i)^{-1} \}^2 \times \\ &\times \{ |d_{21}|^2 \gamma_m [(\mathcal{E}_1 + \hbar\omega_1 - \hbar\omega_1 - \hbar\omega_2)^2 + \gamma_m^2]^{-1} + \\ &+ |d_{22}|^2 \gamma_m [(\mathcal{E}_2 + \hbar\omega_1 - \hbar\omega_1 - \hbar\omega_2)^2 + \gamma_m^2]^{-1} \}. \end{aligned} \quad (26)$$

Входящие в  $E_s$  энергии экситона и биэкситона для бесконечно глубокой КЯ равны

$$\begin{aligned} \mathcal{E}_{ex}^{LH}(0) &= \frac{\pi^2 \hbar^2 l^2}{2d^2} \left( \frac{1}{m_c} + \frac{1}{m_v} \right) + E_g + \frac{2\mu^{LH} e^4}{\hbar^2 \epsilon_0^2}, \\ E_m^{LH}(0) &= 2\mathcal{E}_{ex}^{LH}(0) - \mathcal{D}_m. \end{aligned} \quad (27)$$

Здесь  $\mathcal{D}_m$  — энергия диссоциации биэкситона,  $\mu^{LH}$  — приведенная масса экситона

$$\mu^{LH} = \frac{m_e m_{xy}^{LH}}{m_e + m_{xy}^{LH}},$$

$$m_{xy}^{LH} = \frac{m_0}{\gamma_1 - \gamma_2}, \quad m_- = \frac{m_0}{\gamma_1 + 2\gamma_2},$$

$\gamma_1, \gamma_2$  — параметры Латинджера,  $\gamma_m$  — полуширина биэкситонной линии,  $l$  — номер уровня размерного квантования электрона и дырки, в дальнейшем положим  $l = 1$ . Если оба фотона принадлежат одному источнику ( $\hbar\omega_1 = \hbar\omega_2$ ), то в (24) следует ввести множитель  $1/2$ .

Для численных оценок в случае КЯ ZnSe/Zn<sub>1-x</sub>Mn<sub>x</sub>Se положим:  $m_e/m_0 = 0.17$ ,  $\varepsilon_0 = 9.2$ ,  $\varepsilon_\infty = 6.2$  [18],  $\gamma_1 = 3.77$ ,  $\gamma_2 = 1.24$  [19],  $\mathcal{E}_{ex}^{LH} = 2.8749$  эВ,  $\Delta_m = 11$  мэВ [19],  $d = 67$  Å,  $\gamma_m = 1$  мэВ. В спектре поглощения биэкситона имеются два максимума с различными весами (25), смещенные относительно максимумов поглощения в отсутствие поля на величины  $-\Delta/2 + \Omega$ ,  $-\Delta/2 - \Omega$ . Результаты расчета показаны на рисунке.

### 3. M-полоса излучения в присутствии сильного электромагнитного поля

Оптический Штарк-эффект в M-полосе, по-видимому, можно наблюдать в экспериментах с одновременно действующими двумя источниками света. Источник слабого света при условии  $2\omega = E_m$  обеспечивает заселенность биэкситонного состояния, а мощный источник света, частота которого резонансна экситон-биэкситонному переходу, приводит к расщеплению уровней экситона и биэкситона.

При адиабатическом включении возмущения начальное и конечное состояния имеют вид (22), а гамильтониан взаимодействия описывается выражением (19). Амплитуды перехода  $A_{if}$  ( $i, f = 1, 2$ ) имеют вид

$$\begin{aligned} A_{11} &= Z_{12}^* d_{11} d_{21} \exp[it(\omega_s - \omega_0)], \\ A_{22} &= Z_{12}^* d_{22} d_{12} \exp[it(\omega_s - \omega_0)], \\ A_{12} &= Z_{12}^* d_{11} d_{22} \exp[it(\omega_s - \omega_0 + 2\Omega)], \\ A_{21} &= Z_{12}^* d_{21} d_{12} \exp[it(\omega_s - \omega_0 - 2\Omega)]. \end{aligned} \quad (28)$$

После интегрирования по времени вероятность перехода определяется выражением

$$W_{if} = \frac{2\pi}{\hbar} \sum_{\mathbf{k}_m, \mathbf{k}_{ex}, \mathbf{i}} F(\mathbf{k}_m) |\tilde{A}_{if}|^2 \delta(\mathcal{E}_{if} - \hbar\omega_s), \quad (29)$$

где  $\mathcal{E}_{if}$  — разность энергий конечного и начального состояний;  $F(\mathbf{k}_m)$  — функция распределения биэкситонов, которую мы предполагали максвелловской. В случае квазидвумерных КЯ

$$F(\mathbf{k}_m) = \frac{2\pi \hbar^2 n_m}{M k_B T} \exp\left[-\frac{\hbar^2 \mathbf{k}_m^2}{2M k_B T}\right], \quad (30)$$

где  $M$  — трансляционная масса биэкситона,  $n_m$  — плотность биэкситонов в двумерном слое,  $k_B$  — постоянная Больцмана.

В случае ZnSe/(Zn, Mn)Se КЯ вероятность перехода из биэкситонного состояния, содержащего легкие дырки, имеет вид

Спектральная зависимость вероятности двухфотонного поглощения при концентрации фотонов  $W, c^{-1}$   $n_q/S = 10^8 \text{ см}^{-2}$  и различных расстройках резонанса  $\Delta$ .

$\Delta$ , мэВ: 1 — 0; 2, 3 — 5.

$$W_{if} = \frac{16\pi^2 e^2 |p_{cv}(0)|^2 n_m}{3m_0^2 \omega_s \epsilon_\infty d} \frac{a_m^2}{a_{ex}^2 k_B T} \times$$

$$\times \left[ 1 + \left( \frac{a_m}{a_{ex}} \right)^2 \frac{G_{if}}{2\alpha\beta I_{ex}} \right]^{-3} \times$$

$$\times \exp \left[ - \frac{G_{if}}{k_B T} \right] \mathcal{D}_{if}, \quad (31)$$

где  $I_{ex}$  — потенциал ионизации экситона,

$$G_{11} = G_{22} = \mathcal{E}_{ex}(0) - \mathcal{D}_m - \hbar\omega_s - \Delta,$$

$$G_{12} = \mathcal{E}_{ex}(0) - \mathcal{D}_m - \Delta - 2\Omega - \hbar\omega_s,$$

$$G_{21} = \mathcal{E}_{ex}(0) - \mathcal{D}_m - \Delta + 2\Omega - \hbar\omega_s,$$

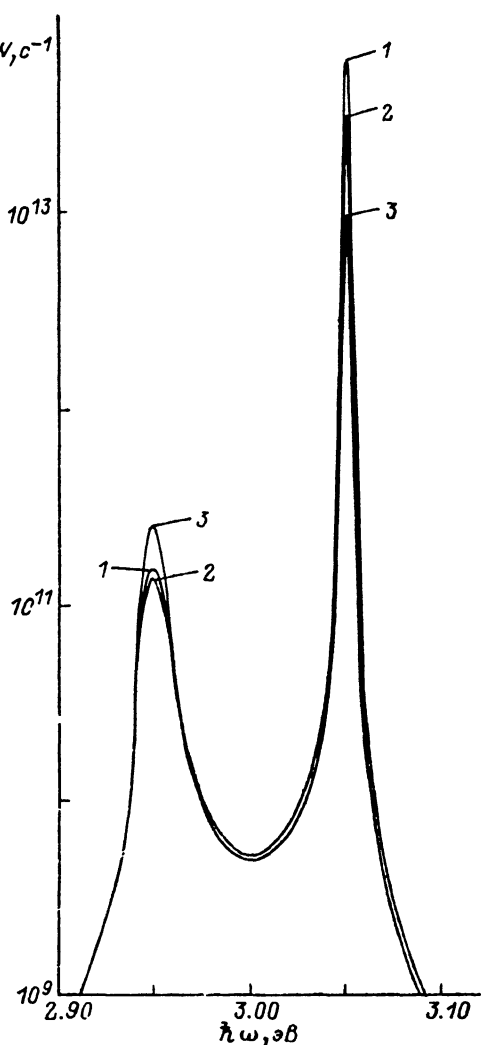
$$\mathcal{D}_{11} = \mathcal{D}_{22} = |d_{11}|^2 |d_{21}|^2,$$

$$\mathcal{D}_{12} = |d_{11}|^2 |d_{22}|^2,$$

$$\mathcal{D}_{21} = |d_{21}|^2 |d_{12}|^2,$$

$$\alpha = m_c/m_{ex}, \quad \beta = m_{xy}^{LH}/m_{ex}.$$

Таким образом, в спектре излучения биэкситона в присутствии мощного электромагнитного поля должны наблюдаться три максимума, смещенные относительно максимума излучения в отсутствие поля на величины  $\Delta$ ,  $\Delta + 2\Omega$ ,  $\Delta - 2\Omega$  с весами  $\mathcal{D}_{11}$ ,  $\mathcal{D}_{12}$ ,  $\mathcal{D}_{21}$ .



### Список литературы

- [1] Шмиглюк М. И., Москаленко С. А., Бардецкий П. И. // ФТП. 1974. Т. 8. № 5. С. 904—911; Шмиглюк М. И., Бардецкий П. И., Витчу Е. В. // Опт. и спектр. 1981. Т. 50. № 4. С. 796—798; Шмиглюк М. И., Бардецкий П. И. Лазерная спектроскопия экситонов в полупроводниках. Кишинев: Штиинца, 1988.
- [2] Frohlich D., Nothe A., Reiman K. // Phys. Rev. Lett. 1985. V. 55. N 12. P. 1335—1337.
- [3] Mysyrowicz A., Hulin D., Artonetti A., Migus A., Masselink W. T., Morkoc H. // Phys. Rev. Lett. 1986. V. 56. N 25. P. 2748—2751.
- [4] Von Lehmen A., Zucker J. E., Heritage J. P., Chemla D. S. // Opt. Lett. 1986. V. 11. N 10. P. 609—611.
- [5] Fluegel B., Peyghambarian N., Olbright G., Lindberg M., Koch S. W., Joffre M., Hulin D., Migus A., Antonetti A. // Phys. Rev. Lett. 1987. V. 59. N 22. P. 2588—2591.
- [6] Sokoloff J. P., Joffre M., Fluegel B., Hulin D., Lindberg M., Koch S. W., Migus A., Antonetti A., Peyghambarian N. // Phys. Rev. B. 1988. V. 38. N 11. P. 7615—7621.
- [7] Fluegel B., Sokoloff J. P., Koch S. W., Lindberg M., Peyghambarian N., Joffre M., Hulin D., Migus A., Antonetti A., Ell C., Banyai L., Haug H. // Phys. Stat. Sol. (b). 1988. V. 150. N 2. P. 357—363.



- [8] Frohlich D., Wille R., Schlapp W., Weimann G. // *Phys. Rev. Lett.* 1987. V. 59. N 15. P. 1748—1751.
- [9] Schmitt-Rink S., Chemla D. S. // *Phys. Rev. Lett.* 1986. V. 57. N 21. P. 2752—2755.
- [10] Combescot M., Combescot R. // *Phys. Rev. B.* 1988. V. 40. N 6. P. 3788—3801.
- [11] Schmitt-Rink S., Chemla D. S., Haug H. // *Phys. Rev. B.* 1988. V. 37. N 2. P. 941—955.
- [12] Schmitt-Rink S., Chemla D. S., Haug H. // *Phys. Rev. B.* 1988. V. 150. N 2. P. 407—412.
- [13] Combescot M. // *Phys. Rev. B.* 1990. V. 41. N 6. P. 3517—3533.
- [14] Бобрышева А. И. Бизекситоны в полупроводниках. Кишинев: Штиинца, 1979. 182 с.
- [15] Fu Q., Lee D., Mysyrowicz A., Nurmikko A. V., Gunshor R. L., Kolodziejski L. A. // *Phys. Rev. B.* 1988. V. 37. N 15. P. 8791—8794.
- [16] Abram I. // *Phys. Rev. B.* 1983. V. 28. N 8. P. 4433—4443.
- [17] Bobrysheva A. I., Russu S. S. // *Phys. Stat. Sol. (b)*. 1990. V. 159. N 1. P. 155—164.
- [18] Ruda H. E. // *J. Appl. Phys.* 1988. V. 59. N 10. P. 3516—3526.
- [19] Rajakarynapayake Y., Miles R. H., Wu G. Y., McGill T. C. // *Phys. Rev. B.* 1988. V. 37. N 17. P. 10212—10215.

Институт прикладной физики АН Молдовы  
Кишинев

Поступило в Редакцию  
9 июня 1992 г.